

Intrakranijinių meningiomų radiologinių požymiu ir jų histologinės diferenciacijos sasajos: klinikinis atvejis ir literatūros apžvalga

R. Montvilaitė*

S. R. Letautienė**

R. Kvaščevičius***

A. Barkauskienė****

**Vilniaus universiteto ligoninė
Santaros klinikos, Radiologijos
ir branduolinės medicinos centras*

***Nacionalinis vėžio institutas,
Diagnostinės ir intervencinės
radiologijos skyrius*

****Vilniaus universiteto Medicinos
fakulteto Klinikinės medicinos
institutas, Neurologijos
ir neurochirurgijos klinika,
Vilniaus universiteto ligoninė
Santaros klinikos,
Neurochirurgijos skyrius*

*****Vilniaus universiteto ligoninė
Santaros klinikos, Radiologijos
ir branduolinės medicinos centras*

Santrauka. Meningioma – dažniausiai pasitaikantis ne glios kilmės centrinės nervų sistemos navikas. Dauguma jų būna nepiktybinės, tačiau apie 20 % pasižymi mažesniu ląstelių diferenciacijos laipsniu, agresyvesne ligos eiga ir laikomos piktybinėmis. Kadangi nepiktybinė ir piktybinė meningioma stebėjimo bei gydymo taktika skiriasi, svarbu kuo anksčiau minėtus tipus atskirti. Remiantis radiologiniais vaizdais (kompiuterinės tomografijos, magnetinio rezonanso tomografijos), sunku prognozuoti meningiomas histologinę diferenciaciją, tačiau kai kurie požymiai leidžia įtarti naviką esant piktybinį. Šiame straipsnyje pristatomas recidyvavusios piktybinės intrakranijinės meningiomas klinikinis atvejis ir literatūros apžvalga, analizuojamos meningių radiologinių požymių koreliacijos su naviko histologine diferenciacija.

Raktažodžiai: meningioma, kompiuterinė tomografija, magnetinio rezonanso tomografija, histologija.

ĮVADAS

Meningioma – dažniausiai pasitaikantis ne glios kilmės centrinės nervų sistemos navikas suaugusiesiems (sudaro 16–20 % visų intrakranijinių navikų) [1]. Dauguma šių navikų – asimptomai ir nustatomi atsitiktinai, tačiau dėl ap-

linkinių galvos smegenų struktūrų pažeidimo gali išsvystytis įvairūs klininiai simptomai. Meningiomas paprastai diagnozuojamos vyresnio amžiaus žmonėms (didžiausias dažnis 60–80 m. amžiaus grupėje) [2]. Kadangi šiuolaikinių visuomenėi būdinga populiacijos senėjimo tendencija ir ateityje vyresnio amžiaus žmonių dalis joje didės, taip pat dėl vis didėjančio atliekamų radiologinių tyrimų skaičiaus, tikėtina, kad daugės ir meningiomų diagnozavimo atvejų.

Dauguma meningiomų – nepiktybinės, tačiau apie 20 % pasižymi mažesniu ląstelių diferenciacijos laipsniu, agresyvesne ligos eiga ir laikomos piktybinėmis [3]. Pastarosios greičiau auga, dažniau recidyvuoj, retais atvejais

Adresas:

Rūta Montvilaitė
*Vilniaus universiteto ligoninė Santaros klinikos,
Radiologijos ir branduolinės medicinos centras
Santariskių g. 2, LT-08661 Vilnius
El. paštas ruta.mont@gmail.com*

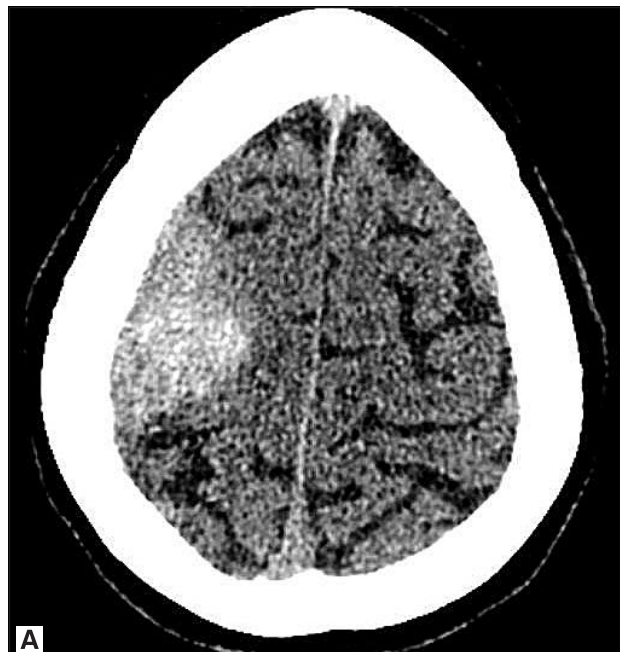
gali metastazuoti. Tam tikri kompiuterinės tomografijos (KT) ir magnetinio rezonanso tomografijos (MRT) tyrimų vaizduose matomi požymiai koreliuoja su meningozioms histologinės diferenciacijos laipsniu ir padeda ji prognozuoti [4]. Kadangi nepiktybiniai ir piktybiniai meningozių stebėjimo bei gydymo taktika skiriasi, svarbu kuo anksčiau minėtus tipus atskirti.

Šiame straipsnyje pristatomas recidyvavusios piktybinės intrakraninių meningoziomos klinikinis atvejis ir literatūros apžvalga, analizuojamos meningozių radiologinių požymių koreliacijos su naviko histologine diferenciacija.

KLINIKINIS ATVEJIS

78 metų moteris kreipėsi į Vilniaus universiteto ligoninės Santaros kliniką (VULSK) Priėmimo-skubios pagalbos skyrių dėl staiga prasidėjusio kairės plaštakos silpnumo ir tirpimo. Pacientė taip pat nurodė kelis mėnesius trunkantį galvos skausmą pakaušio srityje. Objektyvaus ištyrimo metu kairėje rankoje nustatyta sumažėjusi raumenų jėga (distaliai 2–3 balai) ir sustiprėjus sausgyslių refleksai. Kitose galūnėse raumenų jėga buvo normali, patologinių, meningozių refleksų nenustattyta, galvinių nervų funkcija – nesutrikusi. Gyvenimo anamnezė: galvos smegenų infarktu pacientė nesirgusi, jaunystėje patyrusi galvos traumą. Esant ūmiai židininių neurologinių simptomatikai, pacientė būtinajai pagalbai buvo hospitalizuota į Nervų ligų skyrių ir dėl įtariamų ūmių išeminių pakitimų jai paskirta galvos smegenų KT.

Galvos smegenų KT vaizduose ūmiai išemijai būdingų židininių pakitimų nebuvovo matoma. Dešinės kaktinės skilties srityje konveksitaliai buvo matomas apie $51 \times 42 \times 20$ mm dydžio ekstraaksialinis darinys, plačiu pagrindu kontaktuojantis su kietuoju smegenų dangalu. Natyviniuose vaizduose – darinys aiškiomis ribomis, hiperdensinis, kiek nehomogeniškos struktūros. Kontrastinę medžiagą (k/m) kaupė intensyviai, ne visai homogeniškai.



A



B

1 pav. Galvos KT natyviniai vaizdai, aksialinis (A) ir sagitalinis (B) pjūviai.

Dešinėje kaktinėje skiltyje konveksitaliai matomas aiškių ribų, hiperdensinis, kiek nehomogeniškos struktūros ekstraaksialinis darinys, plačiu pagrindu kontaktuojantis su kietuoju dangalu.



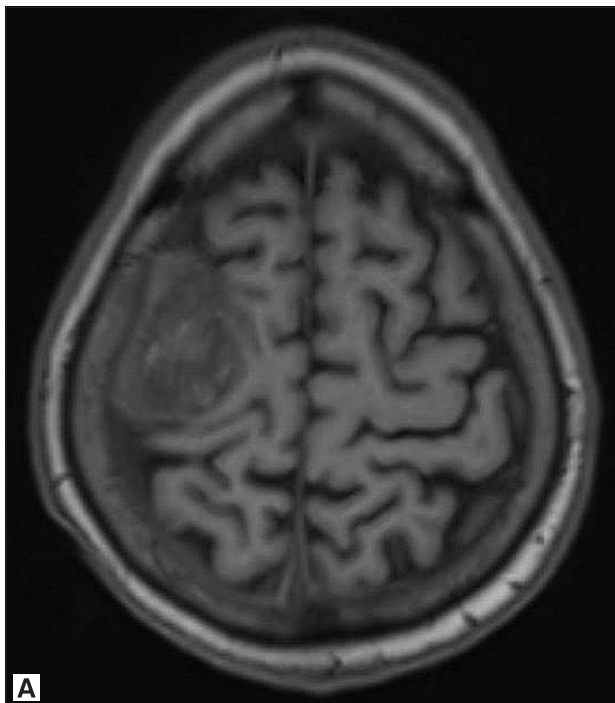
A

2 pav. Galvos KT su k/m vaizdai, sagitalinis (A) ir koronarinis (B) pjūviai.

Intensyvus, ne visai homogeniškas k/m kaupimas darinyje.



B

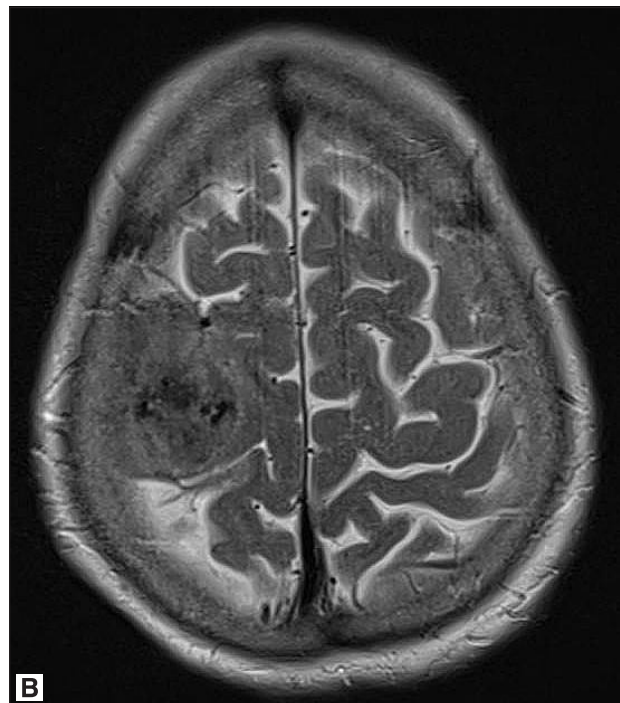


3 pav. Galvos MRT vaizdai, aksialiniai pjūviai.

Dešinėje kaktinėje skiltyje konveksitaliai matomas T1 sekoje (A) hipointensinio signalo su hiperintensiniais intarpais, T2 sekoje (B) - izointensinio signalo su hipointensiniais intarpais darinys be perifokalinės edemos požymiu.

Aplinkinio smegenų audinio edemos, patologinių kaulų pakitimų nebuvo matoma. Tyrimo išvada: dešinės kaktinės skilties srityje konveksitaliai meningočiai būdingas darinys (1, 2 pav.).

Pakitimams patikslinti pacientei buvo paskirta galvos smegenų MRT. Jos vaizduose dešinės kaktinės skilties srityje konveksitaliai buvo matomas apie $47 \times 25 \times 20$ mm dydžio ekstraaksialinis darinys aiškiomis ribomis, dislokuo-

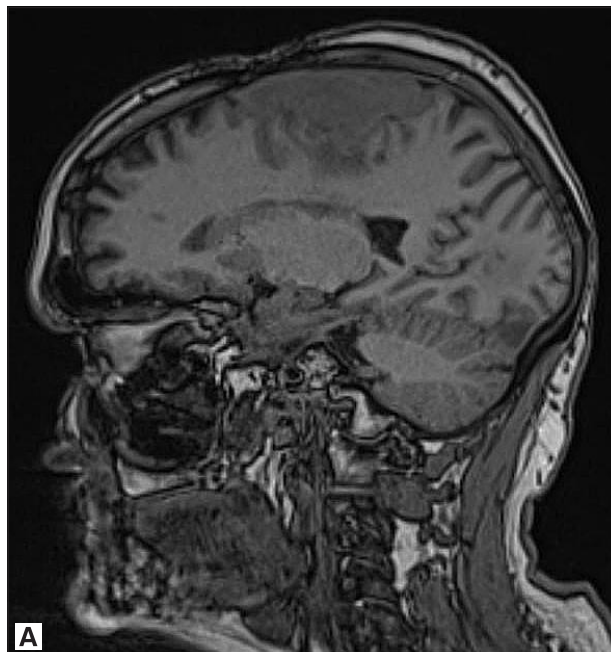


jantis aplinkinę smegenų parenchimą (priešcentrinio, viršutinio ir vidurinio kaktinių vingių) be jos edemos požymiu. Darinys T1 sekoje - hipointensinio signalo su hiperintensiniais intarpais, T2 sekose - izointensinio signalo su hipointensiniais intarpais. Padidėjusios difuzijos restrikcijos požymiu nebuvo matoma. Darinys netolygiai kaupė k/m. Tyrimo išvada: dešinės kaktinės skilties srityje eksstraaksialinis darinys, būdingas meningočiai (3, 4 pav.).

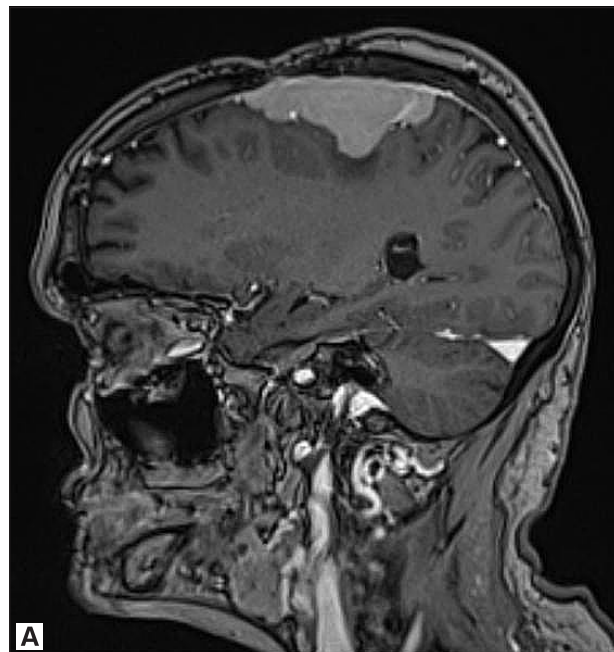


4 pav. Galvos MRT vaizdai, koronarinis (A) ir sagitalinis (B) pjūviai.

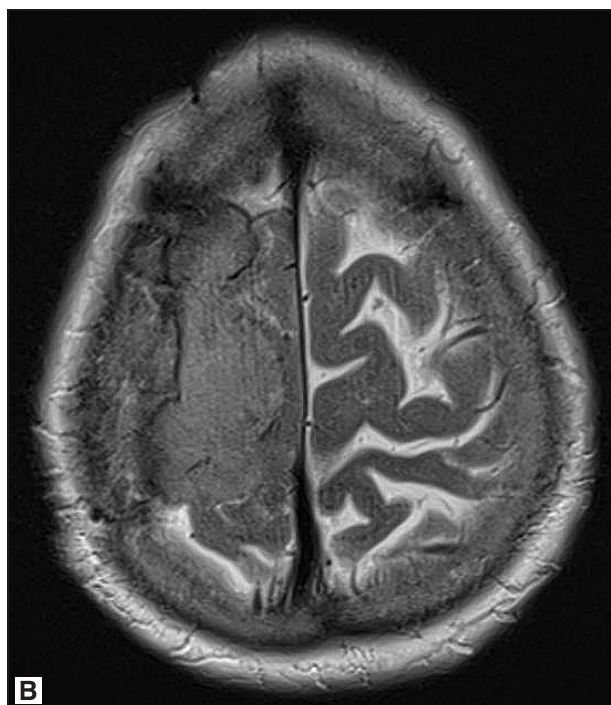
Darinys netolygiai kaupia k/m (T1 su k/m seka).



A



A

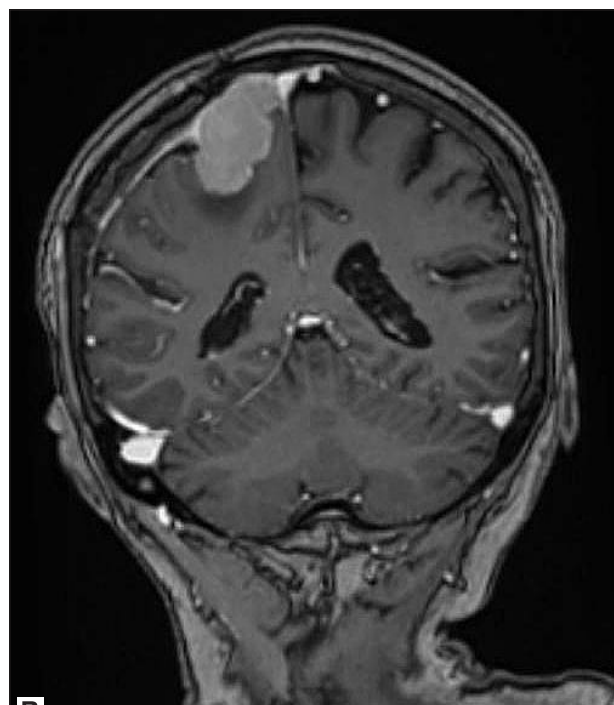


B

5 pav. Galvos MRT vaizdai, sagitalinis ir aksialinis pjūviai.
Dešinėje frontoparietaliai matomas netaisyklingos formos,
T1 sekoje (A) – hipointensinio signalo, T2 sekoje (B) – hiperintensinio signalo ekstraaksialinis darinys nelygiu kontūru, plačiu
pagrindu kontaktuojantis su kietuoju dangalu.

Stacionarizavimo metu taikant konservatyvų gydymą (manitolio tirpalo intravenines injekcijas ir kitus pacientės vartojamus kardiologinius vaistus), kairės rankos silpnumas pacientei regresavo, išliko tik galvos skausmas. Neasant terapinių kontraindikacijų, pacientei buvo rekomenduotas naviko operacinis gydymas planine tvarka.

Po savaitės pacientė hospitalizuota operaciniams gydymui. Operacijos metu pašalinus naviką, jo audinio fragmentai išsiusti histologiniam tyrimui. Galutinė patologijos



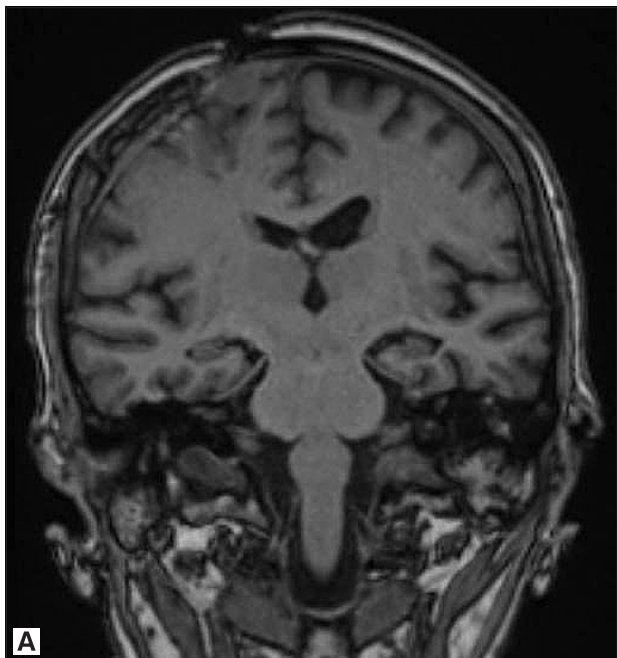
B

6 pav. Galvos MRT vaizdai, sagitalinis (A) ir koronarinis (B)
pjūviai.

Darinys intensyviai, homogeniškai kaupia k/m (T1 su k/m seka).

diagnozė buvo atipinė meningioma, G2. Pasaulio sveikatos organizacijos (PSO) klasifikacijoje šis histologinis variantas priskiriamas II pagal piktybiškumą.

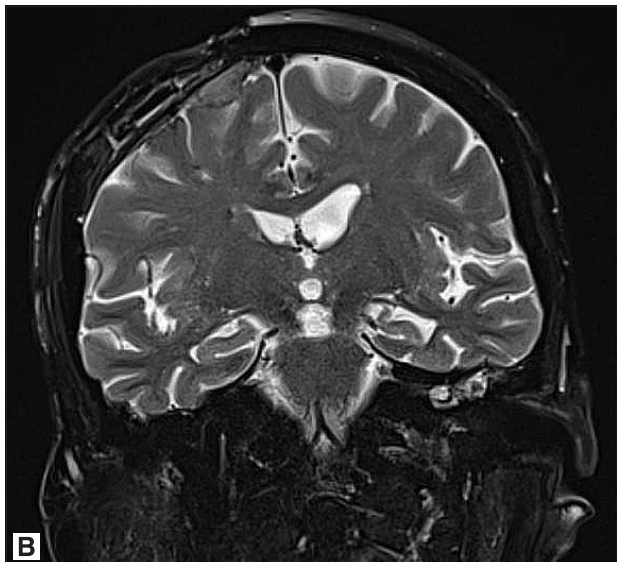
Pooperacinis periodas praėjo sklandžiai, stacionare atlikus reabilitaciją, pacientė buvo išrašyta, paskyrus galvos MRT kontrolinį tyrimą po 1 metų. Tačiau, nepraejus šiam laikui (po 10 mén.), pacientė kreipėsi į II lygio stacionarą, iš kurio vėliau buvo nukreipta į VULSK Priemimo-skubios pagalbos skyrių dėl intensyvaus galvos skausmo (įvertinto 6 balais), kairės pusės galūnių nusilpimo, nega-



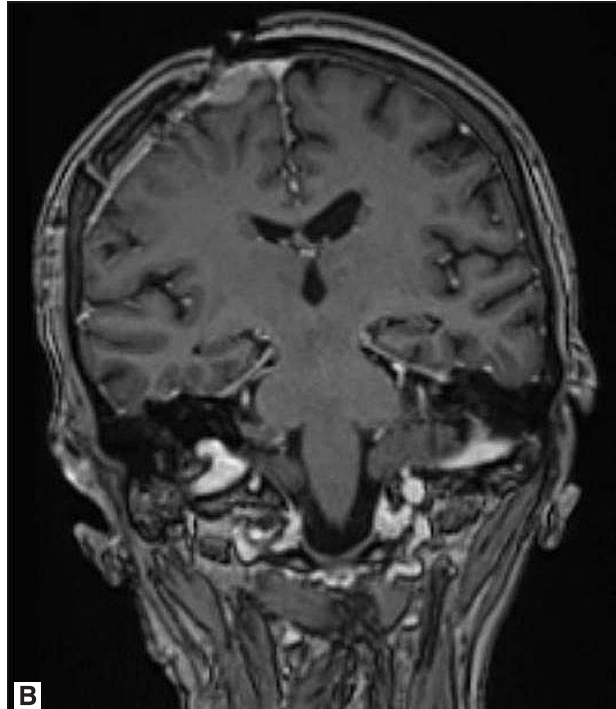
A



A



B



B

7 pav. Galvos MRT vaizdai, koronariniai pjūviai.

Dešinėje frontaliai prie kaulinio lopo matomas T1 (A) ir T2 (B) sekose izointensinis židinys, plačiu pagrindu kontaktuojantis su kietuoju dangalu, glaudžiai kontaktuojantis su viršutinio strėlinio ančio dešiniu kraštu be peraugimo požymiu.

léjimo paeiti. Galūnių nusilpimą pacientė pastebėjo prieš 2 mėnesius, jis palaiapsniui stiprėjo. Objektyvaus ištirimo metu stebėta ataksiška eisena, sumažėjusi raumenų jėga kairėje rankoje (proksimaliai – 4, distaliai – 5 balai) bei kairėje kojose (proksimaliai – 4, distaliai – 2 balai), kairėje rankoje sustiprėjė sausgyslių refleksai. II lygio stacionare atlikoje galvos KT (buvo pateiktas tyrimo aprašymas): dešinėje frontoparietaliai sustorėjė smegenų dangalai, matomas ekstraaksialinis hiperdensinis apie 69×30 mm dydžio k/m kaupiantis darinys skiltėtu konturu su nedidele kalcifikacija. Darinys sukelia nedidelę vidurio struktūrų dislokaciją ir perifokalinę edemą. Tyrimo išvada: darinys dešinėje frontoparietaliai, būdingas meningiomai.

8 pav. Galvos MRT vaizdai, sagitalinis (A) ir koronarinis (B) pjūviai.

Židinys homogeniškai kaupia k/m (T1 su k/m seka).

Pacientė hospitalizuota ir pakitimams galvos smegenyse patikslinti paskirta MRT. Tyrimo vaizduose dešinėje frontoparietaliai operacinėje srityje (prie kaulinio lopo) buvo matomas apie 68×31×25 mm dydžio netaisyklingos formos ekstraaksialinis darinys nelygiu kontūru, gana homogeniškos struktūros, plačiu pagrindu kontaktuojantis su kietuoju dangalu. Darinys T1 sekoje – hipointensinio, T2 sekose – hiperintensinio signalo, homogeniškai kaupia k/m. Stebėtas jo kontaktas su viršutinio strėlinio ančio dešiniu kraštu be peraugimo požymiu, nedidelė aplinkinio smegenų audinio edema, dešinėje frontoparietaliai paly-

ginti subarachnoidiniai konveksitaliniai tarpai. Vidurio linijos struktūros apie 3 mm dislokuotos į kairę. Tyrimo išvada: būklė po atipinės meningiomos operacino gydymo. Meningiomos recidyvas dešinėje frontoparietaliai operacinių srityje (5, 6 pav.).

Pacientei rekomenduotas operacinis naviko gydymas. Operacijos metu navikas pašalintas makroskopiskai radikaliai, jo audinio fragmentai išsiųsti histologiniam tyrimui. Galutinė patologijos diagnozė: atipinė meningioma, G2 (PSO II histologinis variantas).

Po operacijos pacientei išliko kairės pusės galūnių parazė (rankoje proksimaliai – 2, distaliai – 1 balas, kojoje proksimaliai – 3, distaliai – 1–2 balai), tačiau pooperaciniu periodu ir rehabilitacijos stacionare taikant reabilitacijos procedūras stebėta teigiamą simptomų dinamiką (galūnių jėga vertinta 4 balais).

Praėjus 1 mén. po operacijos, atlikta kontrolinė galvos MRT, kurios vaizduose dešinėje frontalialai operacinių srityje (prie kaulinio lopo) buvo matomas plačiu pagrindu su dangalais kontaktuojantis apie $16 \times 15 \times 8$ mm dydžio T1 ir T2 sekose izointensinis židinys, homogeniškai kaupiantis k/m, glaudžiai kontaktuojantis su viršutinio strėlinio ančio dešiniu kraštu bei peraugimo požymių. Ties pooperacine lože stebėti seni kraujo produktai, žievė ir požievį apimanti T2 hiperintensinė zona, būdinga gliozei, lokalai sustorėjė ir intensyviai k/m kaupiantys smegenų dangalai – pooperacinių pakitimai. Tyrimo išvada: būklė po dešinės frontoparietalinės rekraniotomijos, atipinės meningiomos recidyvo šalinimo. Židinys ties kauliniu lopu, plačiu pagrindu kontaktuojantis su smegenų dangalais, – meningiomos recidyvas ar likutinis audinys (7, 8 pav.).

Kadangi stebėta pacientės neurologinės būklės teigiamą dinamiką, o MRT vaizdai neleido patikimai patvirtinti naviko recidyvo, chirurginis gydymas nebuvuo indikuotas, pacientė nukreipta tolimesniams spinduliniam gydymui į Nacionalinį vėžio institutą.

LITERATŪROS APŽVALGA

Epidemiologija

Meningioma yra dažniausiai pasitaikantis ne glios kilmės centrinės nervų sistemos (CNS) navikas suaugusiesiems (sudaro 16–20 % visų intrakranijinių navikų) [1]. Jos paprastai diagnozuojamos vyresniems nei 30 metų asmenims ir dažnis didėja su amžiumi: amžiaus mediana diagnozavimo metu yra 64 metai. Tarp vaikų meningiomos tesudaro 1,9 % pirminių CNS navikų [4]. Vidutinio amžiaus grupėje (35–65 m.) visų diferenciacijos laipsnių meningiomos dažniau nustatomos moterims nei vyrams (santykis atitinkamai 2,2:1), o tarp vyresnių pacientų (75 m.) piktybinės meningiomos dažniau diagnozuojamos vyrams (moterų ir vyru santykis 0,8:1) [5].

Per pastaruosius kelis dešimtmečius meningiomų dažnis išsvyčiusiose šalyse padidėjo – tai siejama su pagerė-

jusiomis diagnostikos galimybėmis, tačiau įtakos tam gali turėti ir aplinkos rizikos veiksniai (žr. skyrių „Etiologija ir rizikos veiksniai“) [4].

Etiologija ir rizikos veiksniai

Meningiomų etiologija nėra iki galo aiški. Tik jonizuojančiosios spinduliuotės poveikis ir kelios retos paveldimos būklės yra pripažinti rizikos veiksniais. Kiti veiksniai – egzogeniniai ir endogeniniai lytiniai hormonai, krūties vėžys, galvos trauma – literatūroje vertinami prieštaringai [4].

Tiek mažos (<10 Gy), tiek vidutinės (10–20 Gy) ar didelės (>20 Gy) jonizuojančiosios spinduliuotės dozės didina meningiomos išsvystymo riziką. Tai įrodė tyrimai, atlikti vertinant dantų rentgenogramą, radioterapijos galvos-kaklo srityje bei Hirošimos ir Nagasaki atominę katastrofą išgyvenusiu patirtos apšvitos poveikį. Nustatyta atvirkštinė priklausomybė tarp apšvitos dozės ir naviko formavimosi laiko: kuo didesnė dozė, tuo trumpesnis naviko išsvystymo laikas (atitinkamai 35, 26 ir 19–24 m. mažos, vidutinės ir didelės apšvitos atveju) [6].

II tipo neurofibromatozė yra reta autosominu dominantiniu būdu paveldima liga, kuriai būdingas nepiktybių navikų formavimasis centrinėje ir periferinėje nervų sistemoje. Apie 50 % ja sergančių išsvysto meningiomos, kurios dažnai būna daugybinės. Navikų formavimasi šios ligos atveju lemia NF2 geno 22 chromosomoje mutacija [4]. Manoma, kad šio geno mutacija lemia ir 50–80 % sporadinių meningiomų atvejų [7]. Taip pat pastebėta, kad meningiomos rizika asmeniui padidėja du kartus, jei ja sango pirmos eilės giminaitis (rizika tiesiogiai proporcinga sergančių giminaičių skaičiui) [4].

Keliose studijose rastas ryšys tarp meningiomos išsvystymo ir vėliau įvykusios menarchės (>14 m.) bei nėštumo, tačiau šiemis rizikos veiksniams patvirtinti trūksta įrodymų [7]. Pomenopauzinė estradiolio terapija šiek tiek padidina meningiomos riziką, tačiau ryšys su peroralinių kontraceptikų vartojimu nėra statistiškai patikimas, jam įvertinti reikalingi tolesni tyrimai [4]. Meningiomos rizika yra didesnė krūties vėžiu sergančioms moterims ir atvirkščiai – pacientėms, kurioms diagnozuota meningioma, nustatyta didesnė krūties vėžio rizika. Manoma, kad ryši tarp šių patologijų lemia persidengiantys rizikos veiksniai [7].

Kai kuriuose atvejo-kontrolės tyrimuose aprašoma galvos traumos įtaka meningiomai išsvystyti, pasiūlyta hipotezė, kad naviko formavimasi šiuo atveju lemia smegenų dangalų sudirginimas dėl létinio uždegimo ir granuliomos atsiradimo traumos srityje. Tačiau kituose tyrimuose ryšys su galvos trauma neaptiktas, o įrodymai – nenuoseklūs [4].

Klinikiniai aspektai

Meningiomos dažnai būna asimptomės ir randamos atsiktinai dėl kitos priežasties atlanko radiologinio tyrimo metu, tačiau, jei navikas sukelia greta esančios galvos smege-

1 lentelė. Su kuriomis meningoziomos lokalizacijomis siejami klinikiniai simptomai [2, 9]

Naviko lokalizacija	Galimi klinikiniai simptomai
Parasagitalinė	Priešingos pusės kojos monoparezė, traukuliai
Subfrontalinė	Sąmonės ir kognityvinių funkcijų sutrikimas, apatija, šlapimo nelaikymas
Pleištakaulio sparnai	Traukuliai, galvinių nervų paralyžiaus požymiai (jei i procesą įtrauktas viršutinis akidubės plyšys)
Cerebelopontinis kampus	Susilpnėjusi klausa, kartu gali būti nejautra veido srityje ir veido raumenų silpnumas
Akytasis antis	Daugybinė galvinių nervų (II–VI) disfunkcija, sukeliančių regėjimo susilpnėjimą, diplopiją, veido nejautrą
Turkiškasis balnas	Regėjimo lauko sutrikimas, regos netekimas
Uodžiamojo stormens sritis	Anosmia, kartu gali būti regos nervo atrofijos požymiai ipsilateraliai ir papiledema kontralateraliai (Kennedy-Foster sindromas)
Foramen magnum	Pakaušio skausmas, paraparezė, sfinkterių disfunkcija, liežuvio atrofija

2 lentelė. PSO meningoziomų klasifikacija [28]

PSO I	PSO II	PSO III
Meningotelinė	Chordoidinė	Papilinė
Fibrozinė	Šviesių ląstelių	Rabdoidinė
Pereinamojų	Atipinė	Anaplastinė
Psamomatozinė	• Padidėjęs mitozių skaičius (4–19/10 DPRL)	• Akivaizdūs citologiniai piktybiškumo požymiai (primenantys karcinomą, melanomą, didelio piktybiškumo laipsnio sarkomą)
Angiomatozinė	• Invazija į smegenų audinį	• Ryškiai padidėjęs mitozių skaičius (20/10 DPRL)
Mikrocistinė	• Bent 3 iš šių požymiai:	
Sekrecinė	– padidėjęs ląstelių skaičius	
Limfoplazmocitinė	– mažos ląstelės su dideliu branduolio / citoplazmos santykiumi	
Metaplastinė	– ryškūs branduolėliai	
	– netipinė audinio architektonika	
	– spontaninės nekrozės židiniai	

DPRL – didelio padidinimo regėjimo laukas

nų žievės dirginimą, smegenų parenchimos ar galvinių nervų kompresiją, pažeidžia kraujagysles, gali atsirasti įvairių klinikinių simptomų. Tai daugiau būdinga didelės apimties meningoziomoms, jų atveju pacientai dažniausiai skundžiasi galvos skausmu ir regėjimo sutrikimais (atitinkamai 45 % ir 30 % atvejų) [8]. Simptomai taip pat priklauso nuo naviko lokalizacijos, tačiau meningoziomoms jie néra specifiniai (1 lentelė) [9].

Pasaulio sveikatos organizacijos klasifikacija

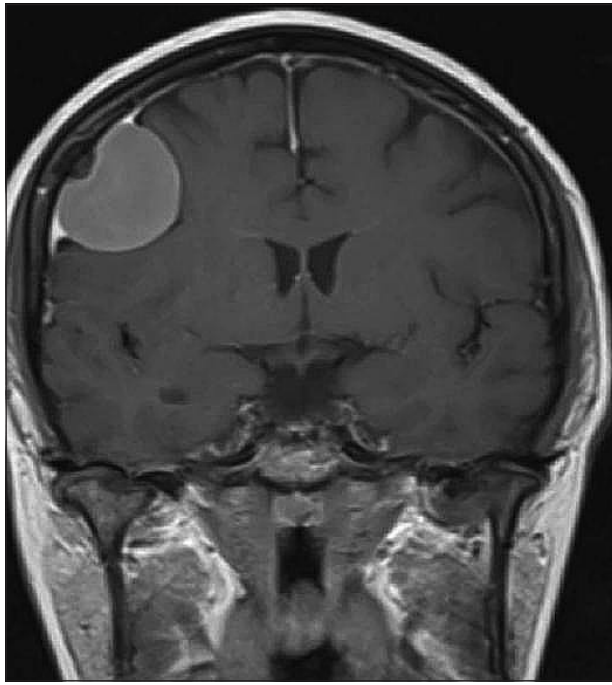
Pasaulio sveikatos organizacijos (PSO) CNS navikų klasifikacijoje meningoziomos pagal tokius histologinius kriterijus, kaip ląstelių tipas ir kiekis, mitotinis aktyvumas, nekrozė, smegenų audinio invazija, skirstomos į tris laipsnius. Apie 80 % meningoziomų yra nepiktybinės ir priskiriamos I laipsniui (9 histologiniai variantai), likusi dalis (6 histologiniai variantai) pasižymi mažesniu ląstelių diferenciacijos laipsniu, agresyvesne ligos eiga ir laikomos piktybinėmis: tai II laipsnio – atipinės (apie 18 %) ir III laipsnio – anaplastinės (apie 2 %) meningoziomos (2 lentelė) [3]. Piktybinės meningoziomos greičiau auga, dažniau recidivuoja, retais atvejais gali metastazuoti (dažniausiai į plaučius ir intraabdominalinius organus) [8]. Jų stebėjimo ir gydymo taktika skiriasi nuo I laipsnio navikų, todėl yra svarbi ankstyva diagnostika.

Radiologiniai požymiai

Meningiozioms kyla iš meningoepitelinių ląstelių, todėl paprastai išsiplėsta srityse, kur šių ląstelių yra daugiausia – ties kietojo smegenų dangalo ančiais, kur gausu voratinklinio dangalo granuliaciją. Kitos galimos lokalizacijos – galvinių nervų išejimo iš kaukolės vietos, kraujagyslių rezginių. Literatūroje apibendrinama, kad bet kuri meningoepitelinė ląstelė (esanti intrakranialiai, stuburo kanale ar ektopenė) yra potencialus meningoziomos vystymosi šaltinis [2].

Dauguma meningoziomų yra intrakranijiniai ekstraakzialiniai navikai. 20–34 % jų nustatoma konveksitaliai (9 pav.), 18–22 % – parasagitaliai, 17–25 % – ties pleištakaulių sparnais ir vidurinėje kaukolės duobėje, 10 % – frontobazaliai, 9–15 % – užpakalinėje kaukolės duobėje. 1–2 % navikų auga intraventrikulariai (10 pav.) ir akidubėse. Nedidelė dalis meningoziomų formuoja iš kietojo smegenų dangalo stuburo kanale (apie 12 %) ir apie 1 % yra ekstradurinės, nustatomos ektopinėse lokalizacijose – kaukolės skliauto kauluose (11 pav.), prienosiniuose ančiuose, nosiaryklėje, plaučiuose ir kitose retose srityse [1]. Dažniausiai meningoziomos būna solitarinės, bet 5–40 % atvejų nustatomi daugybiniai navikai, tai ypač būdinga II tipo neurofibromatozei [4].

KT ir MRT vaizduose matomi tipiniai meningoziomos požymiai leidžia gana patikimai nustatyti diagnozę. Šie požymiai yra būdingi dažniausiai pasitaikantiems nepikty-



9 pav. Meningioma konveksitaliai.

MRT T1 su k/m seka, koronarinis pjūvis [3].

biniams histologiniams variantams, tačiau dalis jų randa ma ir retų piktybinių meningiomų atveju [10]. Remiantis radiologiniaisiais vaizdais, sunku prognozuoti meningiomos histologinę diferenciaciją, tačiau kai kurie požymiai leidžia įtarti naviką esant piktybinį [3].

MRT su gadolinio kontrastine medžiaga (k/m) yra geriausias vaizdinimo metodas meningiomoms diagnozuoti. Jis leidžia tiksliau diferencijuoti skirtingus minkštujų audi-



10 pav. Intraventrikulinė meningioma.

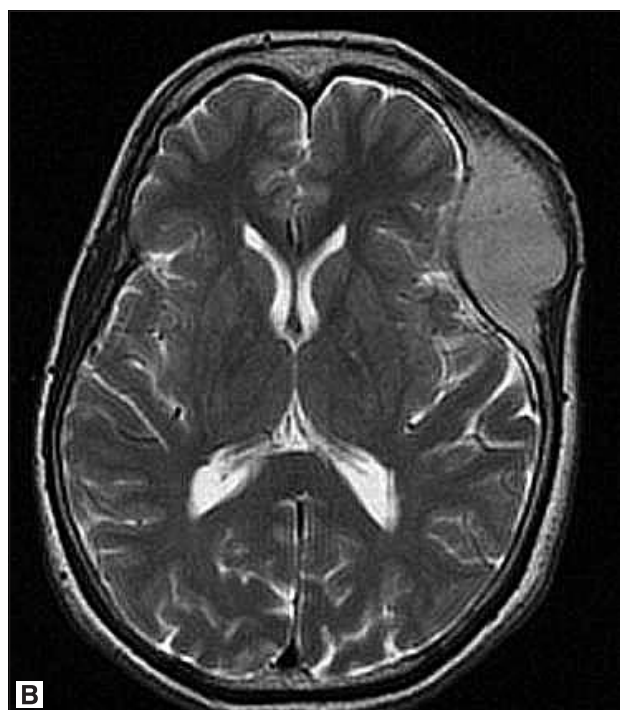
MRT T1 su k/m seka, aksialinis pjūvis [29].

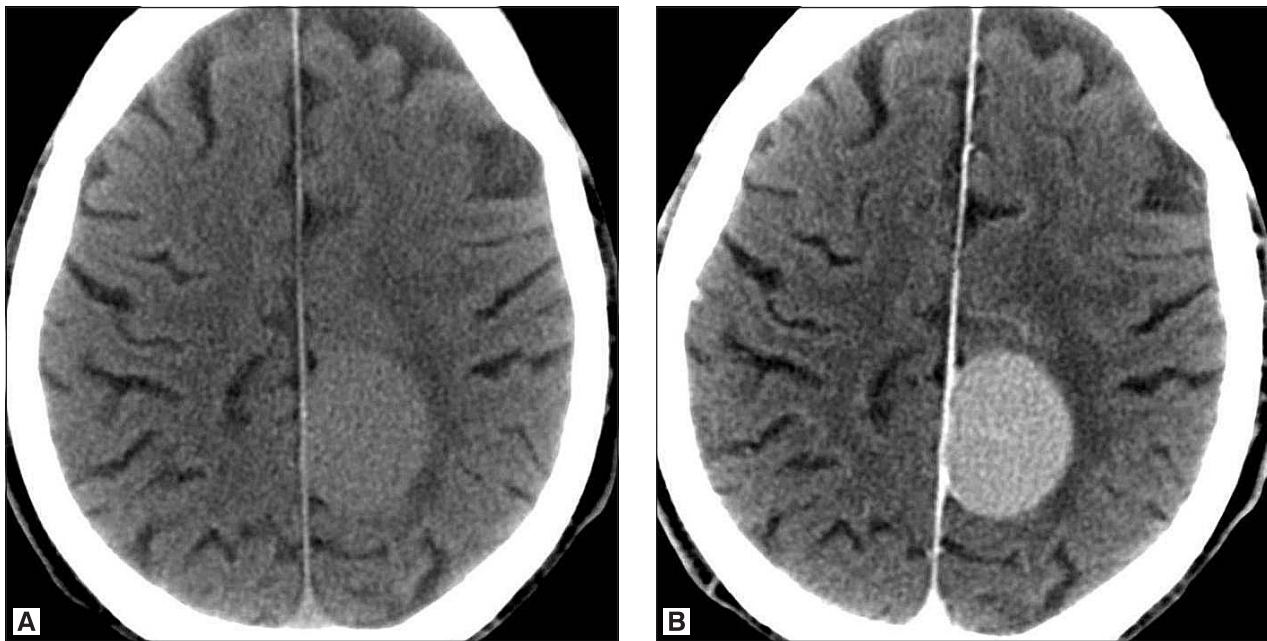
nių tipus, tiksliau įvertinti darinio santykį su smegenų parenchima (intra- ar ekstraakssialinė lokalizacija) bei kitomis anatominėmis struktūromis, ypač tinkamai analizuojant jukstaseliarinę sritį ir užpakalinę kaukolės duobę [11]. Lyginant su MRT, KT yra plačiau prieinamas tyrimas, labiau tinkantis urgentinių būklų atveju, kai reikalingas greitas skenavimas. KT tiksliau nei MRT leidžia įvertinti kaulinį audinį ir kalcifikaciją. Kai pacientas turi kontraindikacijų MRT tyrimui, kaip alternatyva gali būti atliekama KT.



11 pav. Intraosalinė meningioma.

KT (A) ir MRT (B) vaizdai, aksialiniai pjūviai [30].





12 pav. Parasagitalinė meningioma su nežymia perifokaline edema.

KT be (A) ir su k/m (B), aksialinių pjūvių vaizduose matomas platus darinio kontaktas su kietuoju dangalu [31].

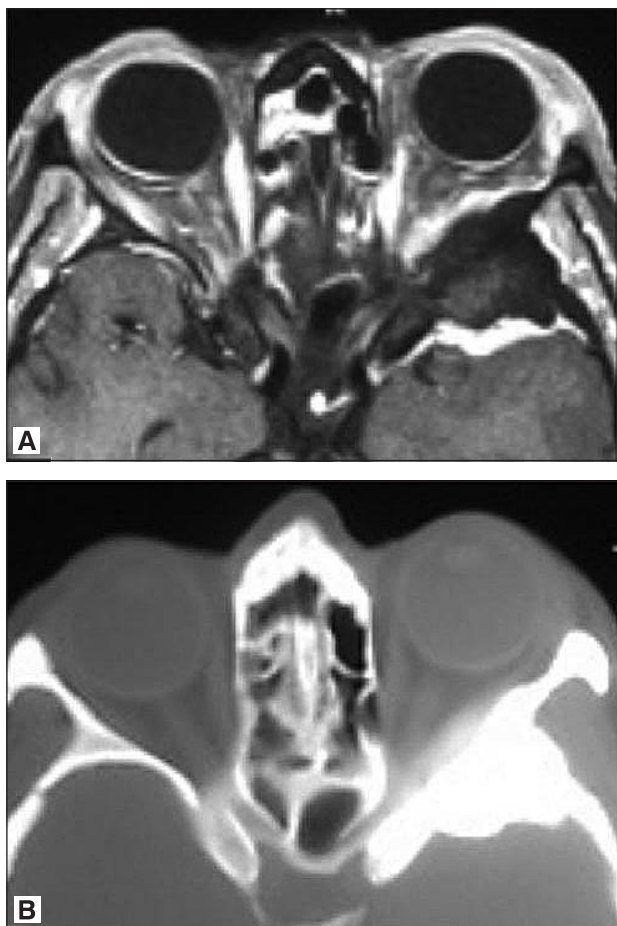
Nepiktybinė meningioma (I laipsnio pagal PSO)

Natyviniuose KT vaizduose intrakranijinės meningiomos tipiniai požymiai yra ekstraaksialinis darinys aiškiomis ribomis, lygiu kontūru, plačiu pagrindu kontaktuojantis su kietuoju dangalu (12 pav.). Jo forma paprastai yra apvali ar ovali, tačiau navikas gali nusitęsti palei kietąjį dangalą, sudarydamas plokštelię (dažniausiai ties pleištakaulio mažuoju sparnu ar konveksitaliai) (13 pav.) [1, 2]. Jei darinys yra gana didelis, jis spaudžia greta esančią smegenų žievę ir sukelia jos dislokaciją [3].

Meningioma gali sukelti aplinkinės smegenų parenchimos vazogeninę edemą, kuri KT vaizduose matoma kaip hipodensinė zona perifokaliai (12 pav.), tačiau dėl lėto naviko augimo šis požymis randamas tik apie 50 % atvejų [11].

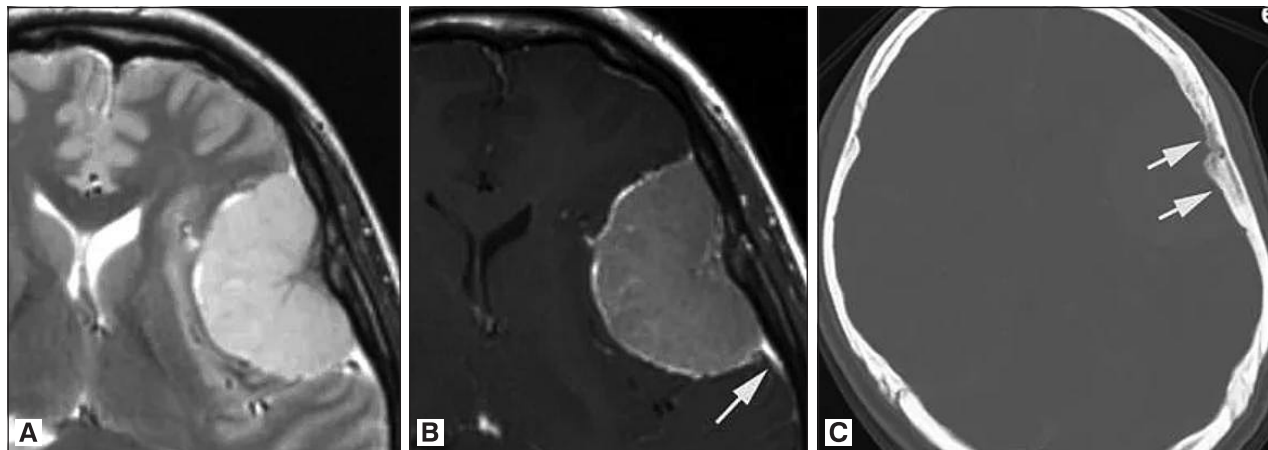
Maždaug ketvirtadaliui pacientų meningioma sukelia greta esančio kaulo sustorėjimą (hiperostozę), paprastai kaukolės skliauto kauluose ar pleištakaulio sparnuose (13, 14 pav.) [3]. Hiperostozė gali būti reakcinė arba susijusi su naviko invazija į kaulą. Kartais tai diferencijuoti yra sudėtinga, tačiau naviko invaziją leidžia ištarai intensyvus k/m kaupimasis hiperostozės srityje [12]. Osteolizė yra būdingesnė piktybinėms meningiomoms, tačiau ją gali sukelti ir nepiktybiniai navikai. Dariniui augant priekinėje kaukolės duobėje, gali išsvystyti prienosinių ančių išsiplėtimas (*pneumosinus dilatans*) [12].

MRT vaizduose T1 sekoje meningioma atrodo kaip hip- ar izointensinio signalo, lyginant su smegenų žieve, T2 sekoje - izo- ar hiperintensinio signalo darinys (14 pav.). Ekstraaksialinę jo lokalizaciją rodo tarp darinio ir smegenų parenchimos T2 sekoje matoma hiperintensinio signalo likvoro juosta (15 pav.), tačiau ji nustatoma ne visais atvejais [12]. Minėtoje likvoro juosteje gali būti matomas tarp naviko ir žievės suspaustos žievės kraujagyslės.



13 pav. Plokštelių formos meningioma pleištakaulio kairiajame sparne.

A - MRT T1 su k/m sekla, B - KT aksialiniuose pjūviuose matoma kaulo hiperostozė [32].



14 pav. Meningioma konveksitaliai.

A - MRT T2 sekoje matomas hiperintensinis darinio signalas, B - „kietojo dangalo uodegos“ požymis MRT T1 sekoje su k/m, C - KT matoma kaulo hiperostozė (rodyklė), aksialiniai pjūviai [10].

Meningiomos sukeliamą aplinkinio audinio edema (T2 sekoje perifokalinė hiperintensinė zona) silpnai koreliuoja su naviko dydžiu ir nepiktybinio darinio atveju retai būna susijusi su naviko invazija į šį audinį [2].

Daugumai nepiktybiinių meningiomų padidėjusi difuzijos restrikcija nėra būdinga, tačiau kontrolinio MRT tyrimo metu difuzijos sekose nustatomos dinamikoje sumažėjusios ADC vertės turėtų kelti įtarimą dėl naviko transformacijos į didesnį piktybiškumo laipsnį [13].

Meningiomoms yra būdingas intensyvus, homogeniškas k/m kaupimas, tačiau dėl nekrozės zonų kalcinatų kaupimas gali būti ir heterogeniškas (dažniau piktybiinių meningiomų atveju) [2]. Iki 72 % navikų kontrastinėse sekose išryškėja „kietojo dangalo uodegos“ požymis – šalia naviko esančio smegenų dangalo sustorėjimas (14 pav.). Tai

yra nespecifinis požymis, būdingas ir kitiems kietajame dangale augantiems navikams, leidžiantis patvirtinti eksstraksionalę darinio lokalizaciją [12]. Šis požymis gali atspindėti reakcinius dangalo pokyčius, navikinę infiltraciją arba abu minėtus procesus [13].

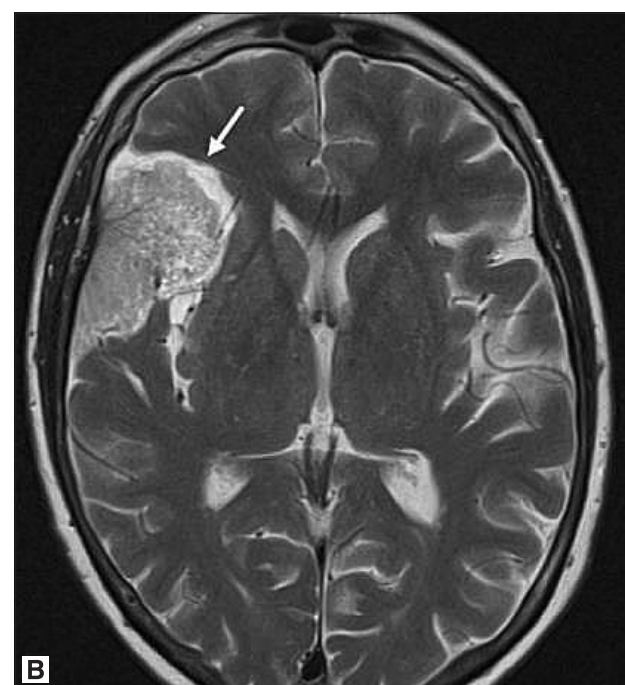
Kaukolės pamato srityje susiformavusios meningiomos potencialiai gali kontaktuoti ir augdamos apsupti intrakranijines kraujagysles, sukelti jų spindžio siaurinimą. Tačiau meningiomų sukeliamą smegenų kraujotakos sutrikimų dažnis yra labai mažas, literatūroje aprašyti tik keli atvejai [1, 14]. Daug dažniau pasitaiko naviko invazija į kietojo dangalo ančius (ypač viršutinį strėlinį antį), dėl kurios gali išsvystyti jų dalinė ar visiška okliuzija [1].

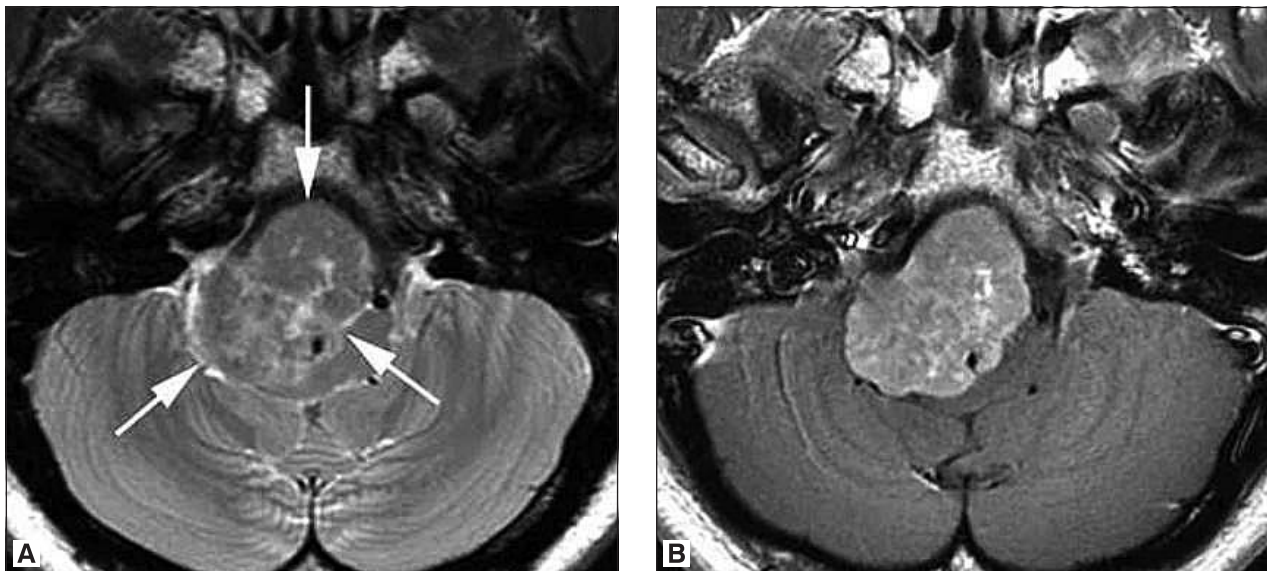
Magnetinio rezonanso spektroskopija (MRS) gali padėti meningiomą diferencijuoti nuo kitų navikų. Menin-



15 pav. Likvoro juosta tarp meningiomos ir aplinkinio smegenų audinio (rodyklė).

A - KT, B - MRT T2 seka, aksialiniai pjūviai [12].





16 pav. Šviesių ląstelių meningioma.

MRT T2 (A) ir T1 su k/m (B) sekū aksialinių pjūvių vaizduose matomas netaisyklingos formos, nehomogeniškos struktūros, netolygiai k/m kaupiantis darinys [10].

giomai būdingi šio tyrimo radiniai yra padidėjusi cholino koncentracija, sumažėjusi N-acetilaspartato ir kreatino koncentracija (nespecifiniai požymiai, būdingi ir daugeliui kitų navikų), taip pat ryškiai padidėjusi alanino koncentracija (daugiau nei kituose navikuose, todėl šis požymis padaeda identifikuoti meningiomą) [1, 3].

Piktybinė meningioma (II, III laipsnio pagal PSO)

Su piktybine meningiomas histologine diferenciacija ir agresyvesne ligos eiga siejama netaisyklinga darinio forma (16 pav.), nelygus kontūras, neryški riba tarp darinio ir aplinkinio smegenų audinio (17 pav.) [15]. T2 sekajoje matomas hiperintensinis darinio signalas rodo minkštą jo konsistenciją, kuri labiau būdinga piktybinėms ir menin-gotelinėms (I laipsnio pagal PSO) meningiomoms [12]. Piktybių meningiomų atveju, dažniau nei nepiktybių, pasitaiko heterogeniška naviko struktūra dėl cistinių inter-pų, hemoragijos, nekrozės zonų (18 pav.) [13]. Pastebėta, kad II laipsnio meningiomas dažniausiai lokalizuojasi ties kaukolės skliautu, o ne pamate [3].

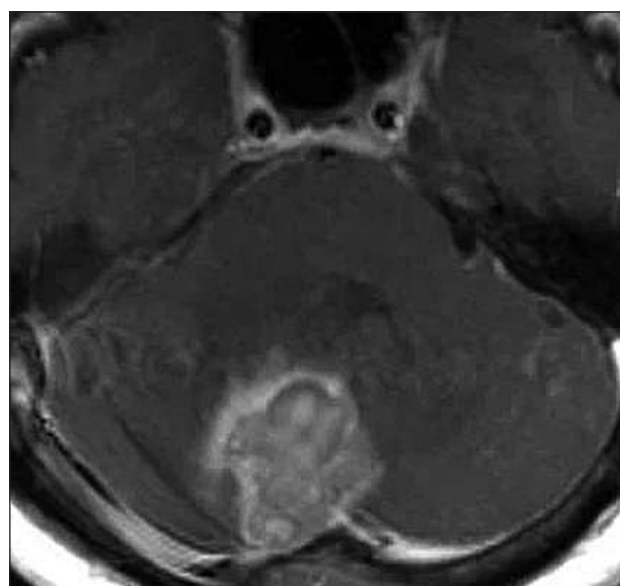
Kalcinatų nebulimas darinyje koreliuoja su piktybine histologine diferenciacija [12, 16], tačiau kai kurių piktybių meningiomų atveju navike gali susiformuoti distrofiniai ar metaplastiniai kalcinatai (pagal R. Y. Hung ir kt., stebimi 15–20 % KT atvejų) [12].

Esant piktybinės meningiomas invazijai į smegenų parenchimą, nebus matoma naviką nuo jos atskirianti likvoro juosta [12]. Šios juostos nebulimas ir neaiškios naviko ribos, nelygus kontūras koreliuoja su jo sukeliama perifokalinė edema, todėl pasiūlyta hipotezė, kad, šiemis požymiams esant kartu, edemos išsvystymo priežastis yra naviko penetracija į smegenų parenchimą [17]. Perifokalinė edema gali išsvystyti ir dėl kitų mechanizmų (hematoencefalinių barjero pažeidimo dėl kompresinės išemijos, venuų obstrukcijos, navikinių ląstelių išskiriamų edemą suke-

liančiu medžiagų), todėl šis požymis neleidžia patikimai diferencijuoti piktybių ir nepiktybių meningiomų [12].

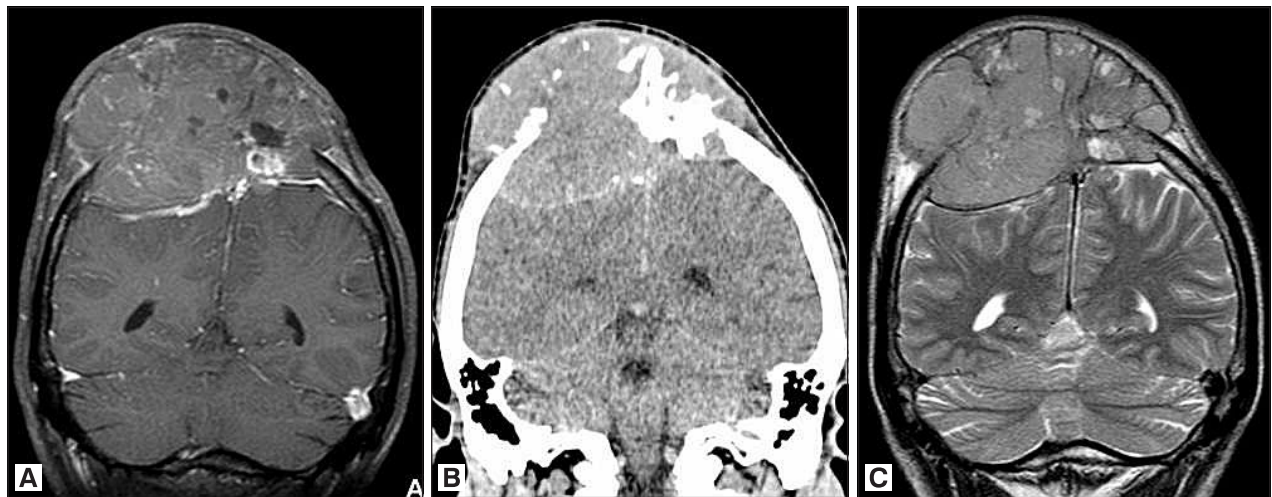
Kaip ir I laipsnio, pagal PSO, navikai, piktybinės meningiomas gali sukelti greta esančio kaulo hiperostozę ar osteolizę (18 pav.). Pastaroji tarp jų nustatoma dažniau, bet iš esmės yra retai aptinkamas požymis (3 % atvejų) [18]. Kai kuriais atvejais hiperostozė ir kaulo destrukcija gali išsvystyti kartu (būdinga 33 % rhabdoidinių meningiomų) [10].

Keliose studijose nustatyta, kad difuzijos sekose piktybių meningiomų ADC vertės yra statistiškai patikimai mažesnės nei nepiktybių (pagal B. Yin ir kt., vidutiniškai $0,85 \pm 0,17 \times 10^{-3} \text{mm}^2/\text{s}$ ir $0,97 \pm 0,21 \times 10^{-3} \text{mm}^2/\text{s}$ atitinka-



17 pav. Meningioma smegenėlių srityje.

MRT T1 su k/m aksialiniame pjūvyje matoma neryški riba tarp darinio ir aplinkinio smegenų audinio [10].



18 pav. III laipsnio, pagal PSO, meningioma.

MRT T1 su k/m sekos (A), KT (B), MRT T2 sekos (C) koronariniuose pjūviuose matoma kaulo destrukcija ir invazija į poodinius minkštuosius audinius [2].

mai) [17, 20]. Tačiau kiti autorai statistiškai patikimo ADC skirtumo tarp nepiktybių ir piktybių meningiomų ar tarp skirtinį jų histologinių variantų nenustatė [13, 20].

Dėl darinyje esančių cistinių intarpų, hemoragijos, ne-krozės zonų kontrastinėse sekose jis gali atrodyti heterogeniškas (19 pav.). M. Wen su bendraautoriais nustatė, kad beveik 2/3 meningiomų atvejų k/m kaupiantis kietojo dangalo sustorėjimas šalia naviko („kietojo dangalo uodegos“ požymis) būna infiltruotas navikinių ląstelių, kurios taip pat gali būti mikroskopiskai išplitusios ir už dangalo ribų [21]. Tačiau „kietojo dangalo uodegos“ požymis gali atspindėti tik reakcinius dangalo pokyčius.

Nors MRS neleidžia patikimai atskirti skirtingo piktybiškumo laipsnio meningiomų, L. A. Tan ir kt. tyime pa-stebėta, kad navikai, turintys didesnį cholino / kreatino santykį (8,8 ir 5,1), dažniau būna II ar III laipsnio, pagal PSO [17].

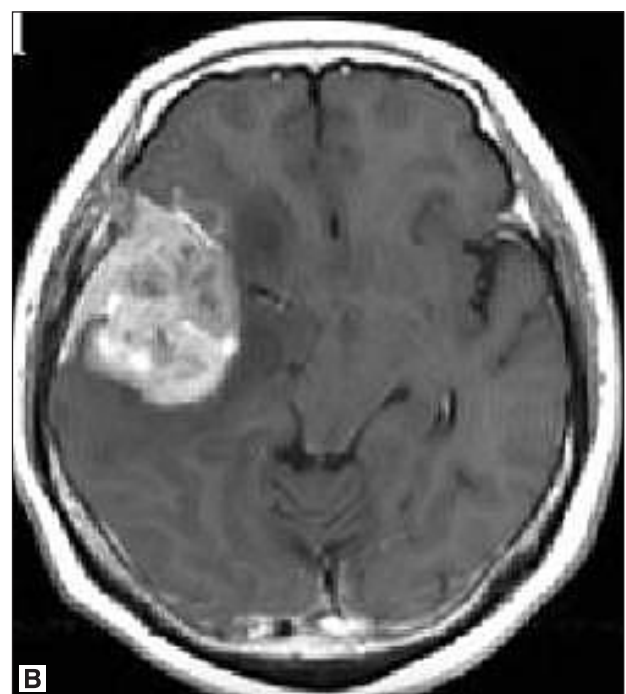
Gydymas ir ligos eiga

Asimptomėms, atsikritinai nustatytais, mažoms menin-giomomis (<2 cm diametro [22]) gydymas nereikalingas, šiuo atveju pasirenkama stebėjimo taktika, periodiškai atliekant vaizdinimo tyrimus. Tačiau simptominėms, dina-mikoje didėjančioms ir sukeliančioms gretimų anatominių



19 pav. Heterogeniškas k/m kaupimas navike.

Skirtingų pacientų KT (A) ir MRT T1 sekos su k/m (B) vaizdai, aksaliniai pjūviai [31, 33].



struktūrų pažeidimo riziką, piktybinei histologinei diferenciacijai būdingais radiologiniai požymiai pasižymintiems meningozioms taikomas operacinis gydymas, pasirinkimo metodas – totalinė chirurginė rezekcija [23]. Dauguma meningozių šiuo metodu išgydomos efektyviai, nors kartais taikoma ir adjuvantinė spindulinė terapija: paprastai piktybių ar recidyvavusių meningozių atveju ar kai totalinė rezekcija negalima dėl tam nepalankios naviko lokalizacijos, vietinio išplitimo, todėl navikas pašalinamas iš dalies [24]. Nerezektabiliems navikams ar pacientams, kuriems operacija kontraindikuotina, spindulinė terapija yra pirminis gydymo metodas [25].

Po operacijos gali recidyvuoti visų diferenciacijos laipsnių meningozioms, bet dažniau tai pasitaiko piktybių navikų atveju. Literatūroje nurodoma, kad per 10 metų recidyvuota 20–75 % II laipsnio ir 50–94 % III laipsnio meningozių, nepaisant agresyvios gydymo taktikos [12, 26]. Patikimiausias recidyvo prognostinis veiksnyς yra operacijos radikalumas. Taip pat pastebėta, kad dažniau recidyvuota daugybinės meningozių [2, 8]. Tarp I laipsnio navikų recidyvas pasitaiko 7–25 % atvejų [3]. Meningioma gali progresuoti į didesnio piktybiškumo laipsnį: tai nustatoma iki 2 % nepiktybių ir apie 30 % recidyvavusių navikų [27].

Meningiomas metastazuoja retai (<0,2 % visų atvejų). Tai yra daugiau būdinga piktybinės diferenciacijos navikams (apie 40 % III laipsnio navikų), bet literatūroje aprašyta ir nepiktybių meningozių metastazavimo atvejų [8]. Tikslus metastazavimo būdas nėra žinomas, tačiau manoma, kad tai – hematogeninis kelias per paravertebrinį (Batsono) veninį rezginį, nes 75 % metastazavusios meningozių atvejų nustatoma naviko invazija į veninį antį. Dažniausios metastazių vietas – plaučiai ir intraabdominaliniai organai [8].

APTARIMAS

Apraštame klinikiniame atvejyje pacientei intrakranijinė meningoza rasta konveksitaliai (dešinės kaktinės skilties srityje). Literatūroje ši lokalizacija nurodoma kaip pasitinkanti dažniausiai [1]. Taip pat pastebėta, kad II laipsnio, pagal PSO, meningozioms dažniausiai lokalizuojasi ties kaukolės skliautu [2]. Pirmųjų KT ir MRT tyrimų natyviniuose vaizduose navikas buvo kiek nehomogeniškos struktūros, po intraveninio kontrastavimo netolygiai kaupe k/m dėl nekrozės zonų. Šie požymiai yra būdingesni piktybinėms meningozioms, bet nustatomi ir 15 % nepiktybių navikų atvejų [12]. Kitų radiologinių požymiai, leidžiančių įtarti meningozių piktybinę histologinę variantą (netaisyklingos darinio formos, nelygaus kontūro, neryškios ribos tarp darinio ir aplinkinio smegenų audinio), ar kaulinio audinio pokyčių nebuvu matoma.

Pacientei diagnozuita atipinė meningoza pasižymi polinkiu recidyvuoti (per 10 metų recidyvuota 20–75 % [3]), tai ir buvo nustatyta po 10 mėn. nuo pirmos operacijos. Tuomet atliktos MRT vaizduose recidyvavusio dari-

nio struktūra buvo homogeniška, tačiau forma – netaisyklinga, kontūras – nelygus, t. y. požymiai, koreliuojantys su naviko piktybine histologine diferenciacija. Stebėtas darinio kontaktas su viršutinio strėlinio ančio kraštu, tačiau invazijos į antį požymį nebuvu matoma.

Apraštame atvejyje navikas pasižymėjo tik keliais ir neišreikštais piktybinėms meningozioms būdingais požymiais, neleidžiančiais prognozuoti histologinės diferenciacijos laipsnio. Tai būtų galima daryti nustatant daugiau su atipine ar anaplastine histologija siejam požymiu, tačiau galimybės tiksliai nustatyti meningozių piktybiškumo laipsnį radiologiniai tyrimai nesuteikia [1].

LITERATŪRA

1. Watts J, Box G, Galvin A, et al. Magnetic resonance imaging of meningiomas: a pictorial review. Insights Imaging 2014; 5(1): 113–22. <https://doi.org/10.1007/s13244-013-0302-4>
2. Freitas LDA, Manzella A, Figueiredo H, et al. Imaging features of intracranial meningiomas with histopathological correlation. Plakatas pristatytas: Europos radiologijos kongresas; 2017 kovo 1–5 d.; Viena, Austrija. <https://doi.org/10.1594/ecr2017/C-2498>
3. Lyndon D, Lansley JA, Evanson J, et al. Dural masses: meningiomas and their mimics. Insights Imaging 2019; 10: 11. <https://doi.org/10.1186/s13244-019-0697-7>
4. Korhonen K. Pathological and epidemiological aspects of meningioma [academic dissertation]. University of Tampere, 2012 [cited 2020 Mar 10]. Available from: <https://trepo.tuni.fi/bitstream/handle/10024/66884/978-951-44-8764-4.pdf?sequence=1&isAllowed=y>
5. Kshettry VR, Ostrom QT, Kruchko C, et al. Descriptive epidemiology of WHO grades II and III intracranial meningiomas in the United States. Neuro-Oncology 2015; 17(8): 1166–73. <https://doi.org/10.1093/neuonc/nov069>
6. Fung KM. Meningiomas pathology. Medscape [Internet]. 2014 [cited 2020 Mar 1]. Available from: <https://emedicine.medscape.com/article/1744164-overview#a3>
7. Wiemels J, Wrensch M, Claus EB. Epidemiology and etiology of meningioma. J Neurooncol 2010; 99(3): 307–14. <https://doi.org/10.1007/s11060-010-0386-3>
8. Beutler BD, Nguyen ET, Parker RA, et al. Metastatic meningioma: case report of a WHO grade I meningioma with liver metastases and review of the literature. Radiol Case Rep 2020; 15(2): 110–6. <https://doi.org/10.1016/j.radcr.2019.10.027>
9. Haddad G. Meningioma clinical presentation. Medscape [Internet]. 2018 [cited 2020 March 3]. Available from: <https://emedicine.medscape.com/article/1156552-clinical#b1>
10. Kunimatsu A, Kunimatsu N, Kamiya K, et al. Variants of meningiomas: a review of imaging findings and clinical features. Jpn J Radiol 2016; 34: 459–69. <https://doi.org/10.1007/s11604-016-0550-6>
11. Islam O, Hall GJ. Brain meningioma imaging. Medscape [Internet]. 2016 [cited 2020 Mar 6]. Available from: <https://emedicine.medscape.com/article/341624-overview#a3>
12. Huang RY, Bi WL, Griffith B, et al. Imaging and diagnostic advances for intracranial meningiomas. Neuro-Oncology 2019; 21: 44–61. <https://doi.org/10.1093/neuonc/noy143>

13. Saloner D, Uzelac A, Hetts S, et al. Modern meningioma imaging techniques. *J Neurooncol* 2010; 99(3): 333–40. <https://doi.org/10.1007/s11060-010-0367-6>
14. Heye S, Maleux G, Van Loon J, et al. Symptomatic stenosis of the cavernous portion of the internal carotid artery due to an irresectable medial sphenoid wing meningioma. *Am J Neuroradiol* 2006; 27(7): 1532–4.
15. Hashiba T, Hashimoto N, Maruno M, et al. Scoring radiologic characteristics to predict proliferative potential in meningiomas. *Brain Tumor Pathol* 2006; 23(1): 49–54. <https://doi.org/10.1007/s10014-006-0199-4>
16. Girgždytė K. Sąsajų tarp galvos smegenų meningiomų piktybiškumo bei recidyvavimo ir neuroradiologinių duomenų tyrimas [magistro diplominis darbas]. Kaunas, Lietuvos sveikatos mokslų universitetas, 2016 [žiūrėta 2020-03-24]. Priėiga per internetą: <https://publications.lsmuni.lt/object/elab/16025151/16025151.pdf>
17. Tan LA, Boco T, Johnson AK, et al. Magnetic resonance imaging characteristics of typical and atypical/anaplastic meningiomas – case series and literature review. *Br J Neurosurg* 2015; 29(1): 77–81. <https://doi.org/10.3109/02688697.2014.957647>
18. Gangadhar K, Santhosh D, Fatterpekar GM. Imaging features of intracranial meningiomas with histopathological correlation: a relook into old disease. *NJR* 2013; 3(1): 14–32. <https://doi.org/10.3126/njr.v3i1.8713>
19. Yin B, Liu L, Zhang BY, et al. Correlating apparent diffusion coefficients with histopathologic findings on meningiomas. *Eur J Radiol* 2012; 81(12): 4050–6. <https://doi.org/10.1016/j.ejrad.2012.06.002>
20. Weber DC, Lovblad KO, Rogers L. New pathology classification, imagery techniques and prospective trials for meningiomas: the future looks bright. *Curr Opin Neurol* 2010; 23(6): 563–70. <https://doi.org/10.1097/WCO.0b013e328340441e>
21. Wen M, Jung S, Moon KS, et al. Immunohistochemical profile of the dural tail in intracranial meningiomas. *Acta Neurochir (Wien)* 2014; 156(12): 2263–73. <https://doi.org/10.1007/s00701-014-2216-4>
22. Sughrue ME, Rutkowski MJ, Aranda D, et al. Treatment decision making based on the published natural history and growth rate of small meningiomas. *J Neurosurg* 2010; 113(5): 1036–42. <https://doi.org/10.3171/2010.3.JNS091966>
23. Chamoun R, Krisht KM, Couldwell WT. Incidental meningiomas. *Neurosurg Focus* 2011; 31(6): E19. <https://doi.org/10.3171/2011.9.FOCUS11220>
24. Goldbrunner R, Minniti G, Preusser M, et al. EANO guidelines for the diagnosis and treatment of meningiomas. *Lancet Oncol* 2016; 17(9): e383–91. [https://doi.org/10.1016/S1470-2045\(16\)30321-7](https://doi.org/10.1016/S1470-2045(16)30321-7)
25. Buerki RA, Horbinski CM, Kruser T, et al. An overview of meningiomas. *Future Oncol* 2018; 14(21): 2161–77. <https://doi.org/10.2217/fon-2018-0006>
26. Walcott BP, Nahed BV, Brastianos PK, et al. Radiation treatment for WHO grade II and III meningiomas. *Front Oncol* 2013; 3: 227. <https://doi.org/10.3389/fonc.2013.00227>
27. Al-Mefty O, Kadri PA, Pravdenkova S, et al. Malignant progression in meningioma: documentation of a series and analysis of cytogenetic findings. *J Neurosurg* 2004; 101: 210–8. <https://doi.org/10.3171/jns.2004.101.2.0210>
28. Harter PN, Braun Y, Plate KH. Classification of meningiomas – advances and controversies. *Chin Clin Oncol* 2017; 6(Suppl 1): S2. <https://doi.org/10.21037/cco.2017.05.02>
29. Majos C, Cucurella G, Aguilera C, et al. Intraventricular meningiomas: MR imaging and MR spectroscopic findings in two cases. *Am J Neuroradiol* 1999; 20(5): 882–5.
30. Agrawal V, Ludwig N, Agrawal A, et al. Intraosseous intracranial meningioma. *Am J Neuroradiol* 2007; 28(2): 314–5.
31. Fatahi Bandpey L, Sanchez Santos PJ, Yago D, et al. Diverse imaging appearances and locations of meningioma. Plakatas pristatytas: Europos radiologijos kongresas; 2013 kovo 7–11 d.; Viena, Austrija. <https://doi.org/10.1594/ecr2013/C-1616>
32. Simas NM, Farias JPF. Sphenoid Wing en plaque meningiomas: surgical results and recurrence rates. *Surg Neurol Int* 2013; 4: 86. <https://doi.org/10.4103/2152-7806.114796>
33. Kawahara Y, Nakada M, Hayashi Y, et al. Prediction of high-grade meningioma by preoperative MRI assessment. *J Neurooncol* 2012; 108: 147–52. <https://doi.org/10.1007/s11060-012-0809-4>

R. Montvilaitė, S. R. Letautienė, R. Kvaščevičius,
A. Barkauskienė

IMAGING FEATURES OF INTRACRANIAL MENINGIOMAS WITH HISTOPATHOLOGICAL CORRELATION: A CASE REPORT AND REVIEW OF LITERATURE

Summary

Meningiomas are the most common non-glial tumours of the central nervous system. Most meningiomas are benign; however, ~20% are associated with less favourable clinical outcomes and are considered malignant. It is important for the radiologist to distinguish between the benign and malignant features of meningiomas as they have different management strategies. Although the value of medical imaging (computed tomography, magnetic resonance imaging) in predicting the histopathologic grades of meningiomas is limited, certain features increase the probability of the lesion being malignant. In this article, we present a case report of a recurrent malignant intracranial meningioma and a literature review and analyze the correlations of the radiological characteristics of meningiomas with histopathological tumor differentiation.

Keywords: meningioma, computed tomography, magnetic resonance imaging, histology.

Gauta:
2020 06 24

Priimta spaudai:
2020 08 13